

1. 画出 Lorenz 方程的轨迹。

$$\begin{cases} \dot{x} = \sigma(y - x) \\ \dot{y} = \gamma x - y - xz \\ \dot{z} = xy - bz \end{cases}$$

取 $\sigma = 10$, $b = 8/3$, 首先讨论 γ 的各种取值情形下的方程解, 见图 1

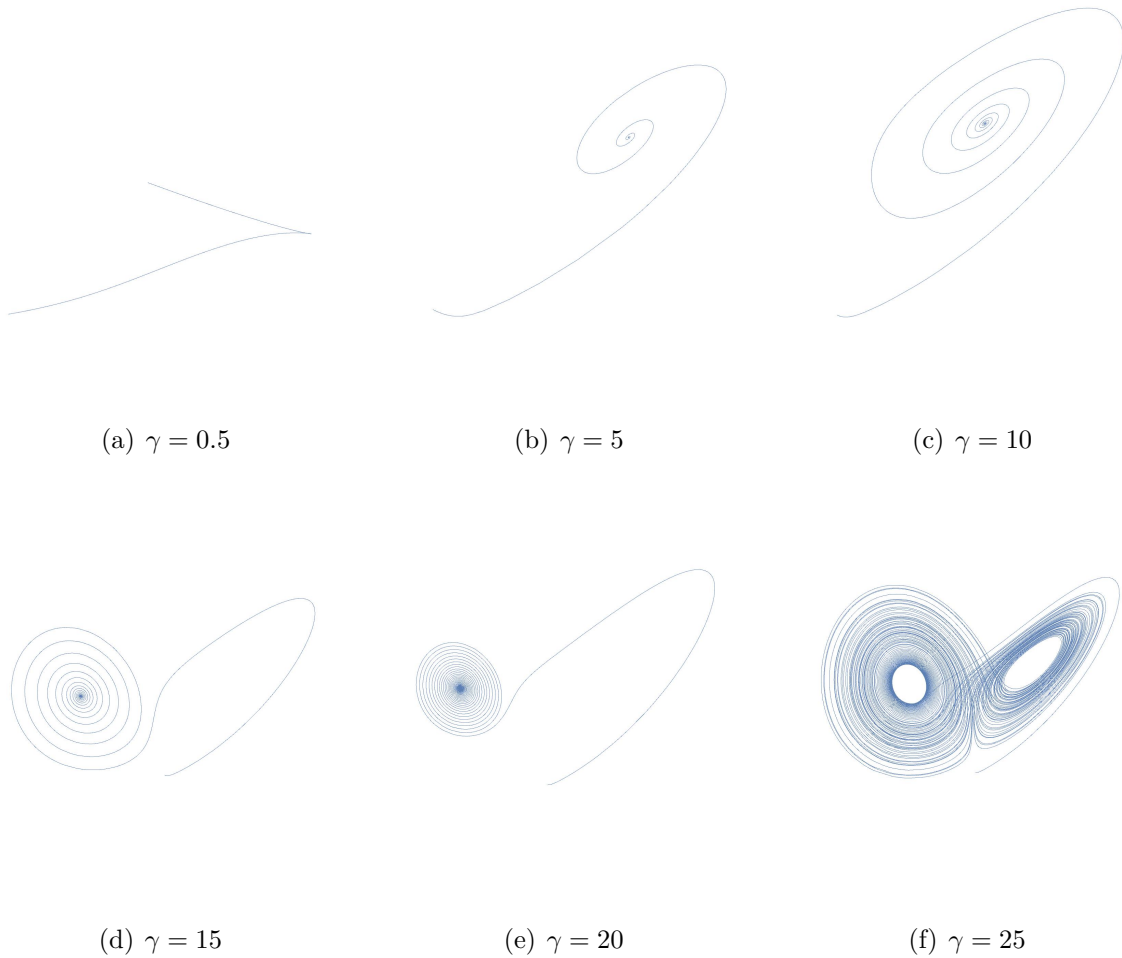


图 1: 不同 γ 取值的计算结果

可以看出, 当 $\gamma < 1$ 时, 体系不存在吸引子; γ 增大后, 吸引子出现, 并持续收缩; $\gamma > 24.74$ 时, 体系在两个吸引子间不断运动。

下面观察初值对体系运动的影响。取 $\sigma = 10$, $\gamma = 28$, $b = 8/3$, 结果如图 2 所示,

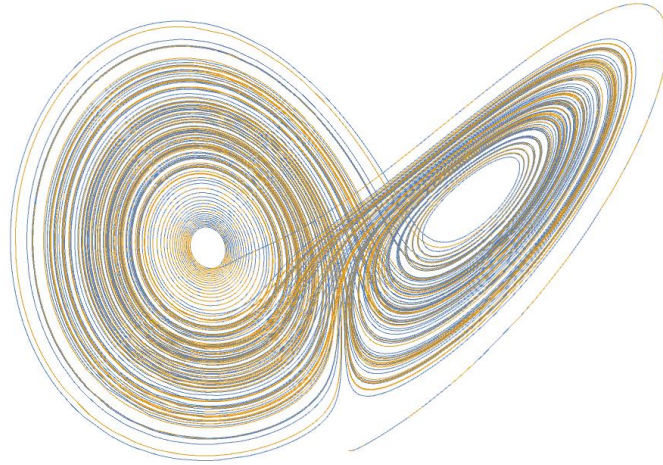


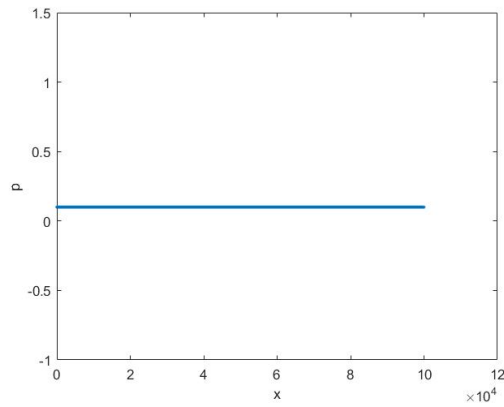
图 2: 不同初值条件对运动的影响

显然, 两种情况下的轨迹在一开始十分接近, 但越到后面, 轨迹差距越来越明显, 这体现了 Lorenz 体系的混沌性。

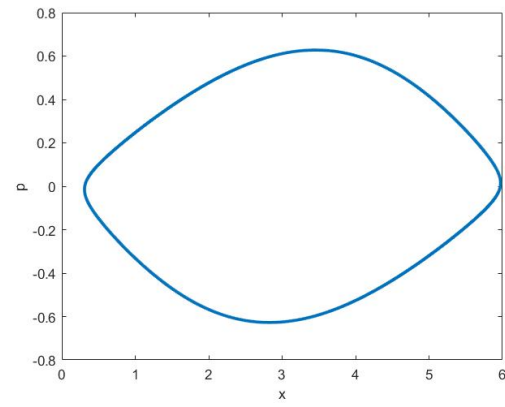
2. Kicked rotor model 讨论。

$$\begin{cases} p_{n+1} = p_n + \sin(x_n) \\ x_{n+1} = x_n + p_{n+1} \end{cases}$$

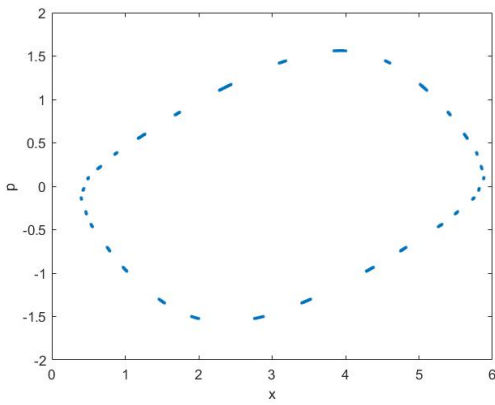
取 $x_0 = 0.5$, $p_0 = 0.1$, 计算结果如图 3 所示,



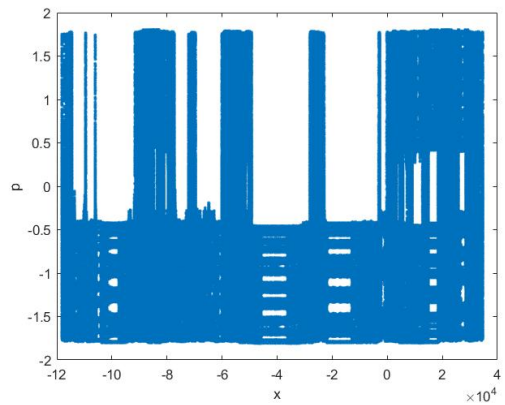
(a) $k = 0$



(b) $k = 0.1$



(c) $k = 0.6$



(d) $k = 0.7$

图 3: 不同 k 取值的计算结果

感觉最后一张图比较奇怪, 于是我在 wiki 上搜索了一些相关内容, 将所有的 x_n 对 2π 取模, 即

$$\begin{cases} p_{n+1} = p_n + \sin(x_n) \\ x_{n+1} = (x_n + p_{n+1}) \mod 2\pi \end{cases}$$

继续进行计算, 结果见图 4

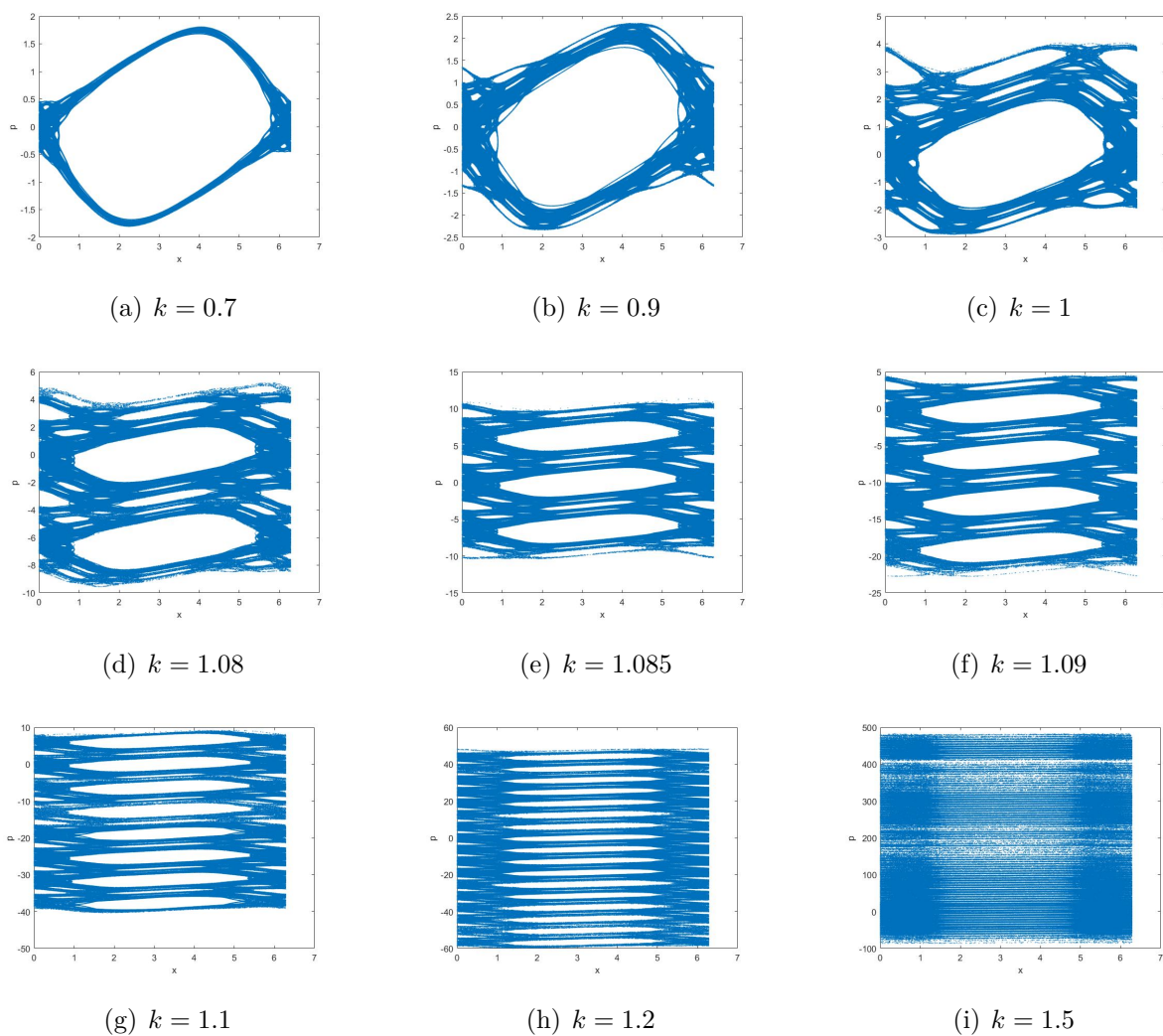


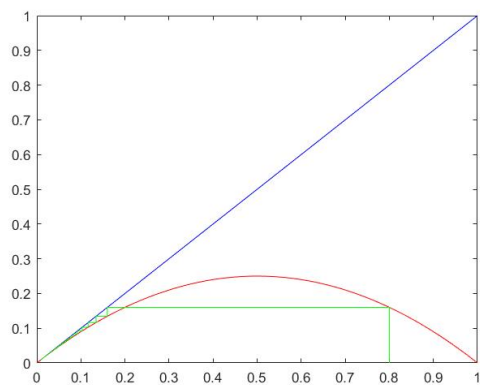
图 4: 不同 k 取值的计算结果

$k = 0$ 时, 体系不受外力, 保持自由转动; 当 k 值较小时, 每一次外界的扰动, 都会使得 p_n 增加 $k \sin(x_n)$, x_n 增加 p_{n+1} , 但体系运动的轨道仍然保持旋转不变性; 当 k 增大到 0.6 时, 相轨道发生变化, 表明混沌现象即将开始发生; $k = 0.7$, 轨道不再稳定; k 继续增大, 相空间的混沌区域也随之扩张, 代表周期性运动的空白区域越来越少; 直到 $k = 1.5$, 相空间几乎完全变得混沌了。

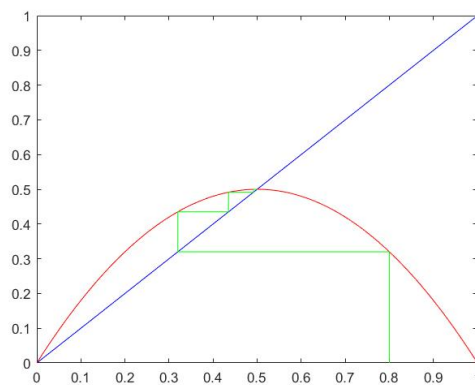
3. logistic map 分叉现象, 计算。

$$x_{n+1} = \gamma x_n (1 - x_n)$$

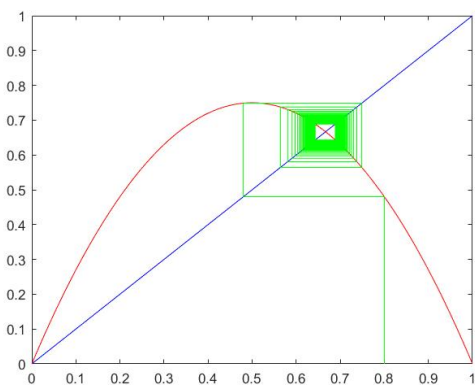
首先观察一下迭代寻找不动点的过程。不妨选取初值 $x_0 = 0.8$ ，迭代 100 次，结果见图 5。



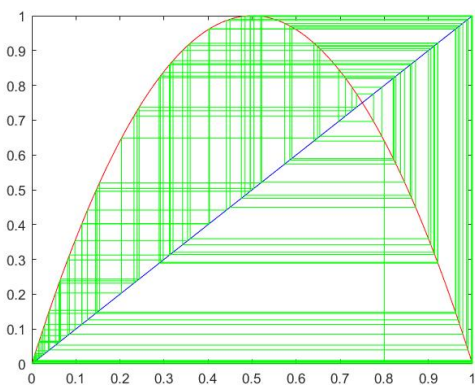
(a) $\gamma = 1$



(b) $\gamma = 2$



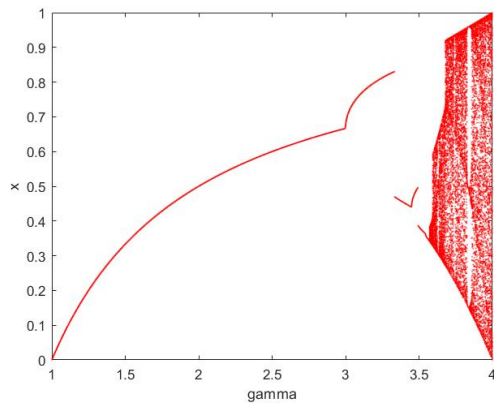
(c) $\gamma = 3$



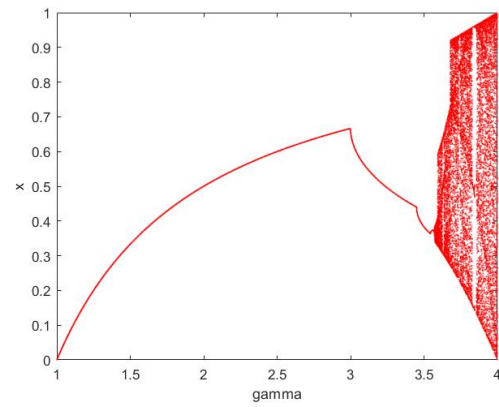
(d) $\gamma = 4$

图 5: 不同 γ 取值的迭代过程

可以看出前三幅图对应的 γ 取值，最终可以迭代得到不动点，而 $\gamma = 4$ 时却不能。接下来考察不动点 x_n 与 γ 间的关系， γ 在 $[1, 4]$ 范围内取值，绘图如图 6(a) 所示。



(a) $x_0 = 0.1$



(b) $x_0 = 0.8$

图 6: 不同 x_0 选择下的 Logistic Map

如图 6(b) 所示, 同样可以画出初值 $x_0 = 0.8$ 时的计算结果。由此可见, 为画出完整的 Logistic Map, 需令 x_0 取遍 $(0,1)$ 内的所有值, 结果见图 7。

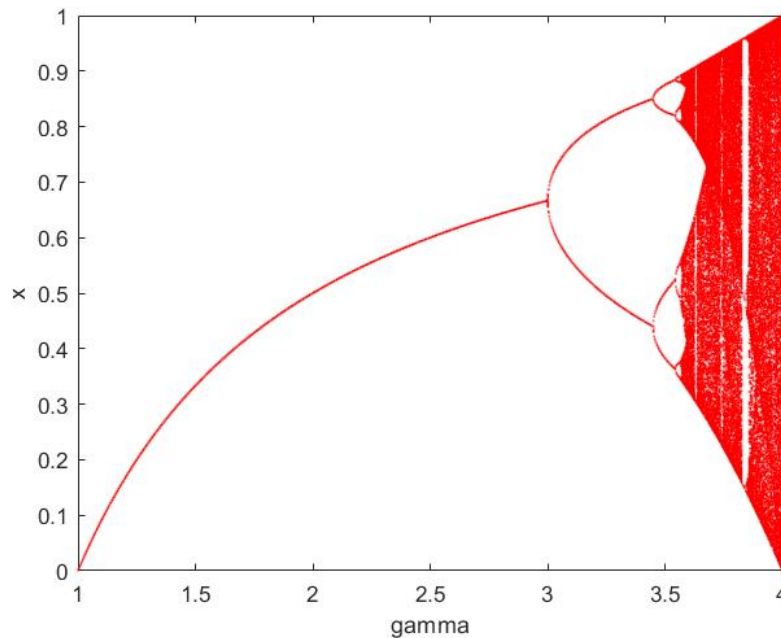


图 7: Logistic Map

将上图的后半部分放大观察, 如图 8 所示,

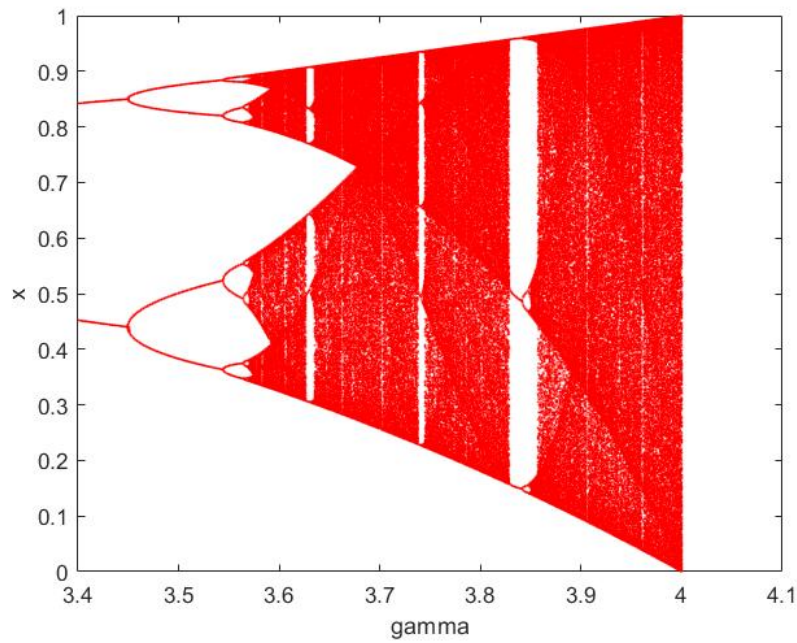


图 8: Logistic Map, $\gamma \in (3.4, 4)$

可以看出，在 γ 取值超过某个临界值 $\gamma_C \approx 3.55$ 时，不动点不再存在，体系进入混沌状态，与图 3 得到的结果相一致。